

### Eingabe: Farbmétrisches Reflexions-System ORS18

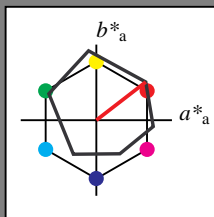
für Buntton  $h^* = lab \cdot h = 38/360 = 0.105$

$lab \cdot tch$  und  $lab \cdot nch$

D65: Buntton O

LCH\*Ma: 48 83 38

rgb\*Ma: 1.0 0.0 0.0



#### ORS18; adaptierte CIELAB-Daten

	$L^*=L^*_a$	$a^*_a$	$b^*_a$	$C^*_{ab,a}$	$h^*_{ab,a}$
OMa	47.94	65.37	50.52	82.62	38
YMa	90.37	-10.27	91.77	92.34	96
LMa	50.9	-62.79	34.95	71.87	151
CMa	58.62	-30.35	-45.01	54.3	236
VMa	25.71	31.11	-44.42	54.24	305
MMa	48.13	75.27	-8.35	75.73	354
NMa	18.01	0.0	0.0	0.0	0
WMa	95.41	0.0	0.0	0.0	0
RCIE	39.92	58.66	26.98	64.56	25
JCIE	81.26	-2.17	67.76	67.79	92
GCIE	52.23	-42.26	11.75	43.87	164
BCIE	30.57	1.15	-46.84	46.87	271

Dreiecks-Helligkeit  $t^*$

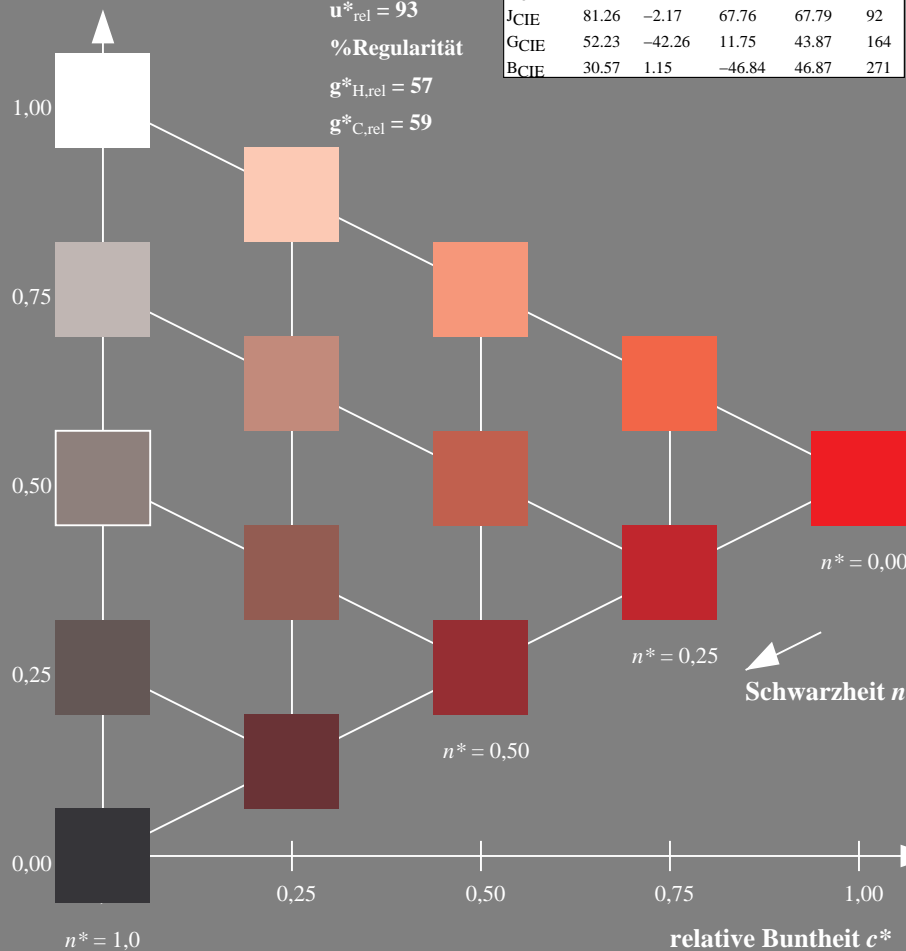
%Umfang

$u^*_{rel} = 93$

%Regularität

$g^*_{H,rel} = 57$

$g^*_{C,rel} = 59$



UG210-7, 5 stufige Reihen für konstanten CIELAB Bunton  $38/360 = 0.105$  (links)

### Ausgabe: Farbmétrisches Reflexions-System MRS18a

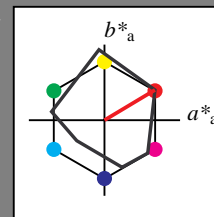
für Buntton  $h^* = lab \cdot h = 31/360 = 0.086$

$LAB \cdot LCH$ ,  $LAB \cdot NCH$

D65: Buntton R

LCH\*Ma: 50 78 31

rgb\*Ma: 1.0 0.0 0.0



#### MRS18a; adaptierte CIELAB-Daten

	$L^*=L^*_a$	$a^*_a$	$b^*_a$	$C^*_{ab,a}$	$h^*_{ab,a}$
RMa	49.63	66.8	40.02	77.87	31
JMa	90.7	-7.27	93.19	93.48	94
GMa	52.11	-69.93	11.26	70.85	171
G50BMa	45.03	-36.65	-27.13	45.61	217
BMa	36.65	23.26	-62.27	66.49	290
B50RMa	34.94	57.27	-43.6	71.99	323
NMa	18.01	0.0	0.0	0.0	0
WMa	95.41	0.0	0.0	0.0	0
RCIE	39.92	58.67	27.97	64.99	25
JCIE	81.26	-2.91	71.56	71.62	92
GCIE	52.23	-42.47	13.58	44.6	162
BCIE	30.57	1.33	-46.48	46.51	272

CIELAB-Helligkeit  $L^*$

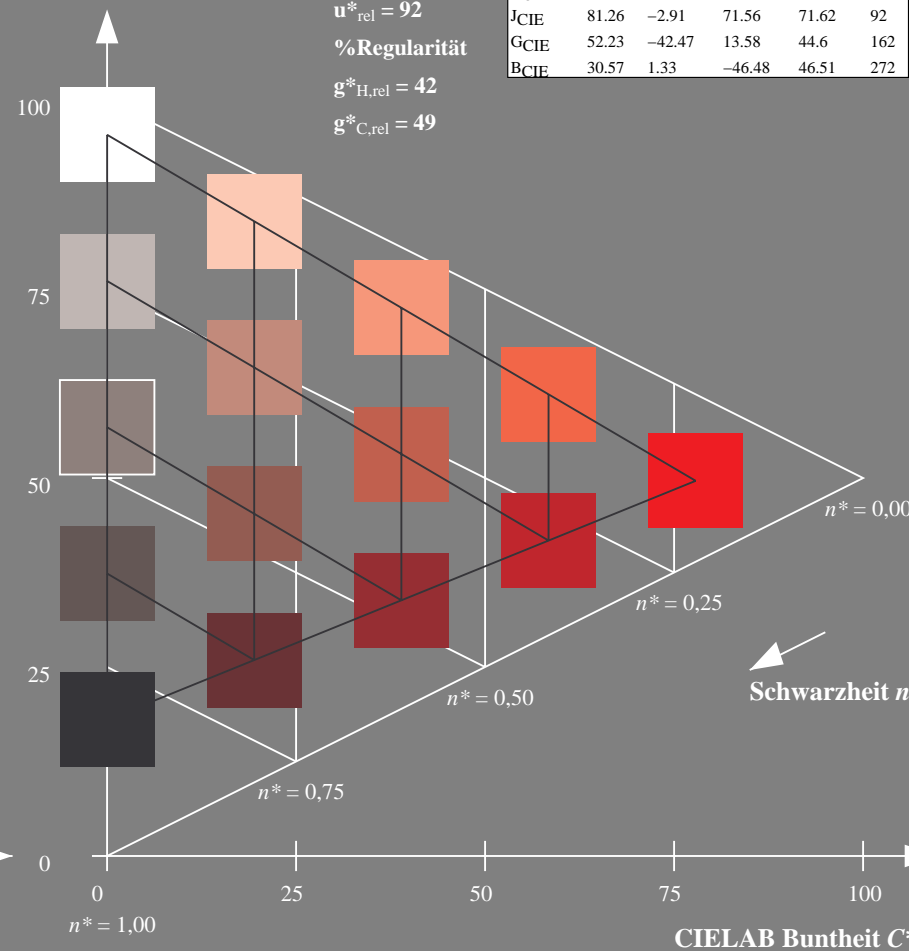
%Umfang

$u^*_{rel} = 92$

%Regularität

$g^*_{H,rel} = 42$

$g^*_{C,rel} = 49$



5 stufige Reihen für konstanten CIELAB Bunton  $31/360 = 0.086$  (rechts)

BAM-Prüfvorlage UG21; Farbmétrik-Systeme ORS18 & ORS18input:  $cmY0^* setcmykcolor$

D65: Koordinaten-Systeme von 5stufigen Farbreihen für 10 Bunttoninput: Startup (S) data dependend

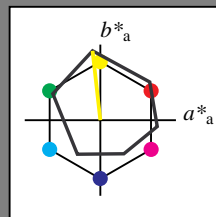
## Eingabe: Farbmétrisches Reflexions-System ORS18

für Buntton  $h^* = lab^*h = 96/360 = 0.268$  $lab^*tch$  und  $lab^*nch$ 

D65: Buntton Y

LCH\*Ma: 90 92 96

rgb\*Ma: 1.0 1.0 0.0



## ORS18; adaptierte CIELAB-Daten

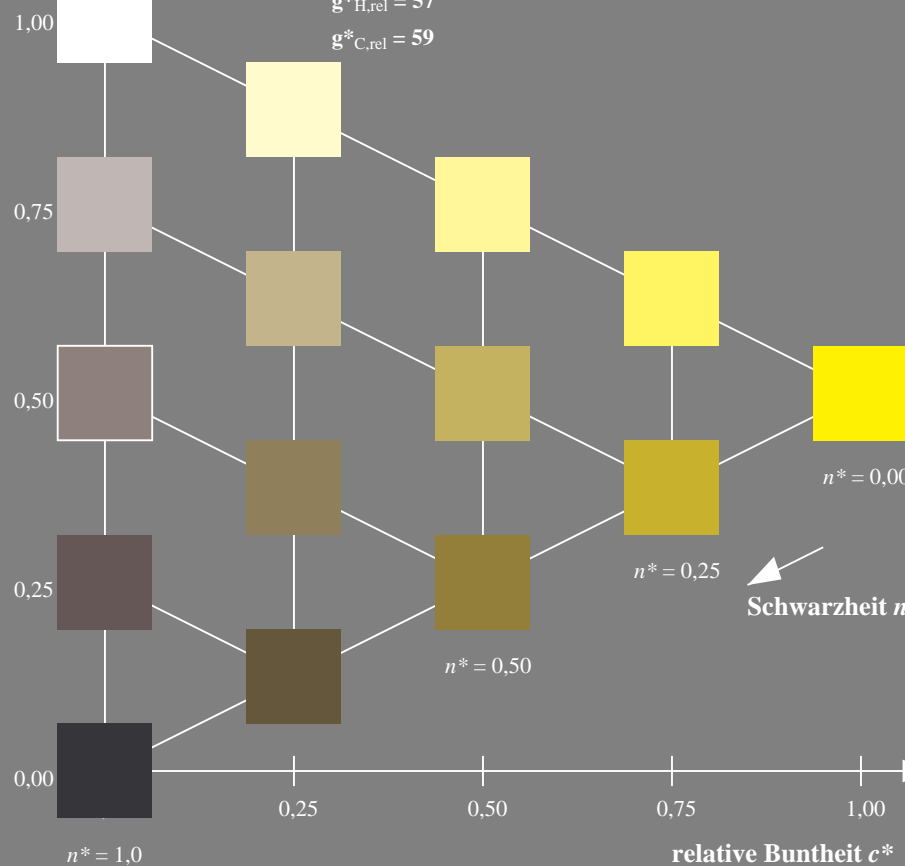
	$L^*=L^*_a$	$a^*_a$	$b^*_a$	$C^*_{ab,a}$	$h^*_{ab,a}$
OMa	47.94	65.37	50.52	82.62	38
YMa	90.37	-10.27	91.77	92.34	96
LMa	50.9	-62.79	34.95	71.87	151
CMa	58.62	-30.35	-45.01	54.3	236
VMa	25.71	31.11	-44.42	54.24	305
MMa	48.13	75.27	-8.35	75.73	354
NMa	18.01	0.0	0.0	0.0	0
WMa	95.41	0.0	0.0	0.0	0
RCIE	39.92	58.66	26.98	64.56	25
JCIE	81.26	-2.17	67.76	67.79	92
GCIE	52.23	-42.26	11.75	43.87	164
BCIE	30.57	1.15	-46.84	46.87	271

Dreiecks-Helligkeit  $t^*$ 

%Umfang

 $u^*_{rel} = 93$ 

%Regularität

 $g^*_{H,rel} = 57$  $g^*_{C,rel} = 59$ UG210-7, 5 stufige Reihen für konstanten CIELAB Buntton  $96/360 = 0.268$  (links)

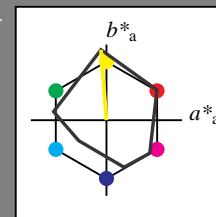
## Ausgabe: Farbmétrisches Reflexions-System MRS18a

für Buntton  $h^* = lab^*h = 94/360 = 0.262$  $LAB^*LCH$ ,  $LAB^*NCH$ 

D65: Buntton J

LCH\*Ma: 91 93 94

rgb\*Ma: 1.0 1.0 0.0



## MRS18a; adaptierte CIELAB-Daten

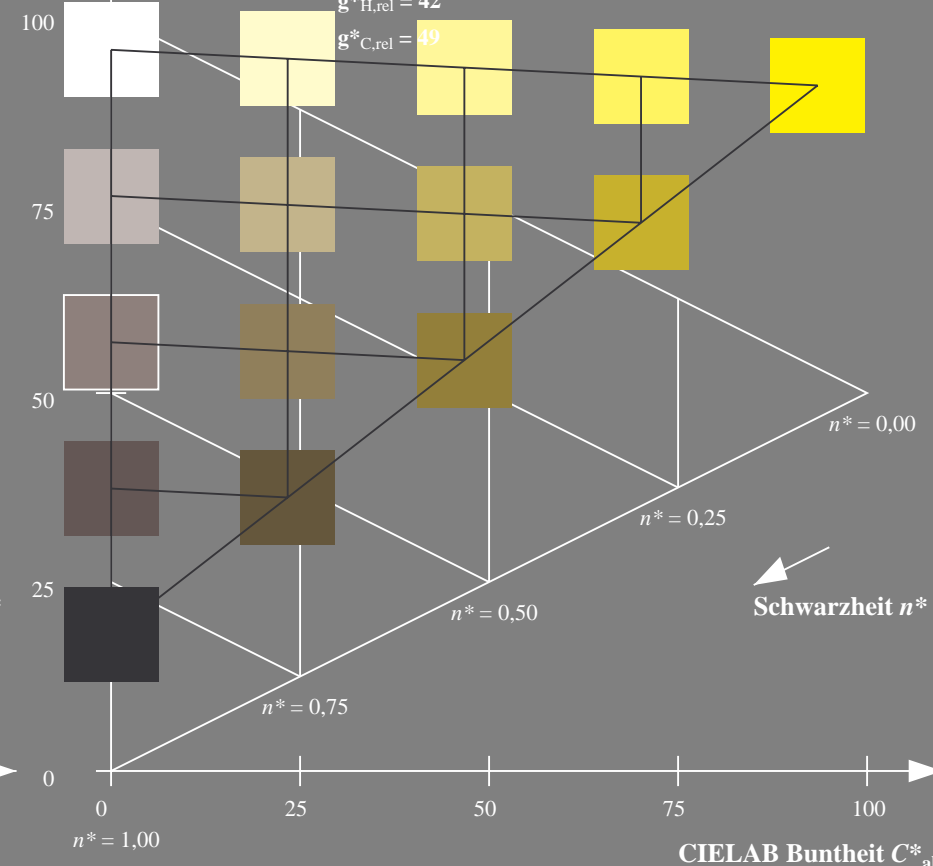
	$L^*=L^*_a$	$a^*_a$	$b^*_a$	$C^*_{ab,a}$	$h^*_{ab,a}$
RMa	49.63	66.8	40.02	77.87	31
JMa	90.7	-7.27	93.19	93.48	94
GMa	52.11	-69.93	11.26	70.85	171
G50BMa	45.03	-36.65	-27.13	45.61	217
BMa	36.65	23.26	-62.27	66.49	290
B50RMa	34.94	57.27	-43.6	71.99	323
NMa	18.01	0.0	0.0	0.0	0
WMa	95.41	0.0	0.0	0.0	0
RCIE	39.92	58.67	27.97	64.99	25
JCIE	81.26	-2.91	71.56	71.62	92
GCIE	52.23	-42.47	13.58	44.6	162
BCIE	30.57	1.33	-46.48	46.51	272

CIELAB-Helligkeit  $L^*$ 

%Umfang

 $u^*_{rel} = 92$ 

%Regularität

 $g^*_{H,rel} = 42$  $g^*_{C,rel} = 49$ 5 stufige Reihen für konstanten CIELAB Buntton  $94/360 = 0.262$  (rechts)BAM-Prüfvorlage UG21; Farbmétrik-Systeme ORS18 & ORS18input:  $cmY0^* setcmykcolor$ 

D65: Koordinaten-Systeme von 5stufigen Farbreihen für 10 Bunttoninput: Startup (S) data dependend

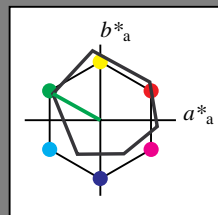
## Eingabe: Farbmétrisches Reflexions-System ORS18

für Buntton  $h^* = lab \cdot h = 151/360 = 0.419$  $lab \cdot tch$  und  $lab \cdot nch$ 

D65: Buntton L

LCH\*Ma: 51 72 151

rgb\*Ma: 0.0 1.0 0.0



## ORS18; adaptierte CIELAB-Daten

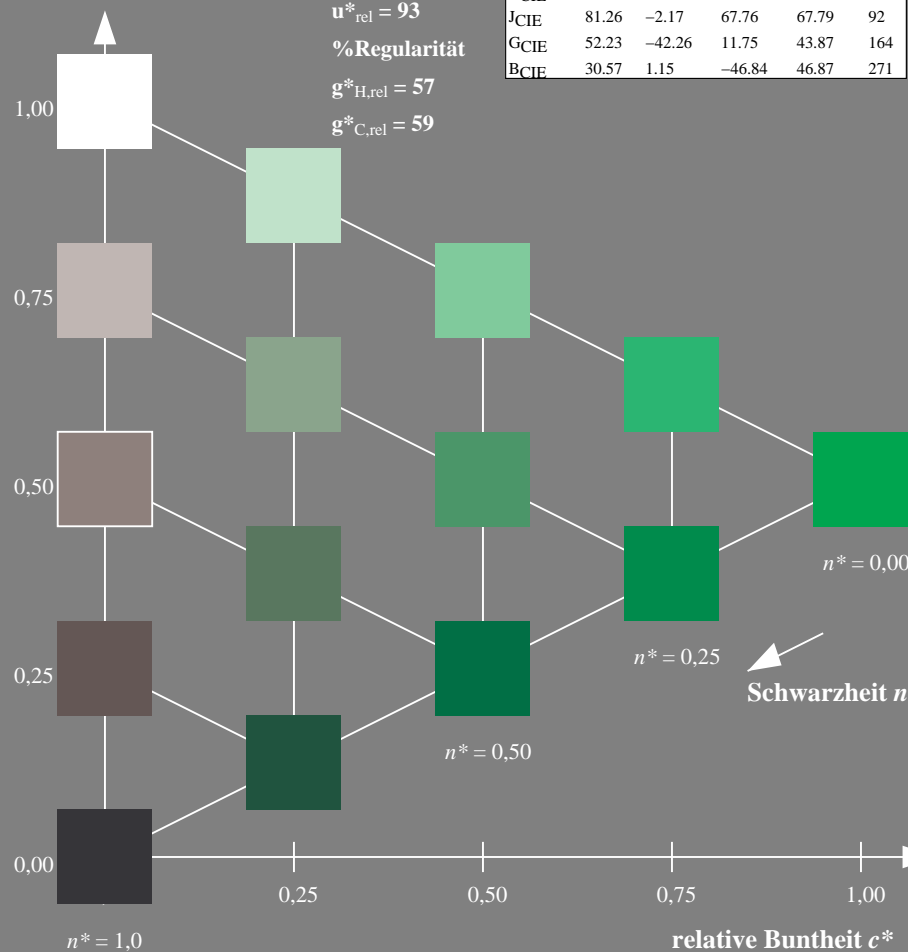
	$L^*=L^*_a$	$a^*_a$	$b^*_a$	$C^*_{ab,a}$	$h^*_{ab,a}$
OMa	47.94	65.37	50.52	82.62	38
YMa	90.37	-10.27	91.77	92.34	96
LMa	50.9	-62.79	34.95	71.87	151
CMa	58.62	-30.35	-45.01	54.3	236
VMa	25.71	31.11	-44.42	54.24	305
MMa	48.13	75.27	-8.35	75.73	354
NMa	18.01	0.0	0.0	0.0	0
WMa	95.41	0.0	0.0	0.0	0
RCIE	39.92	58.66	26.98	64.56	25
JCIE	81.26	-2.17	67.76	67.79	92
GCIE	52.23	-42.26	11.75	43.87	164
BCIE	30.57	1.15	-46.84	46.87	271

Dreiecks-Helligkeit  $t^*$ 

%Umfang

 $u^*_{rel} = 93$ 

%Regularität

 $g^*_{H,rel} = 57$  $g^*_{C,rel} = 59$ 

UG210-7, 5 stufige Reihen für konstanten CIELAB Buntton 151/360 = 0.419 (links)

BAM-Prüfvorlage UG21; Farbmétrik-Systeme ORS18 & ORS18input: *cmY0\* setcmykcolor*D65: Koordinaten-Systeme von 5stufigen Farbreihen für 10 Bunttoninput: *Startup (S) data dependend*

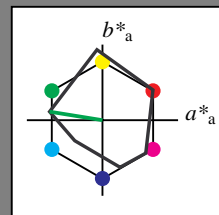
## Ausgabe: Farbmétrisches Reflexions-System MRS18a

für Buntton  $h^* = lab \cdot h = 171/360 = 0.475$  $LAB \cdot LCH$ ,  $LAB \cdot NCH$ 

D65: Buntton G

LCH\*Ma: 52 71 171

rgb\*Ma: 0.0 1.0 0.0



## MRS18a; adaptierte CIELAB-Daten

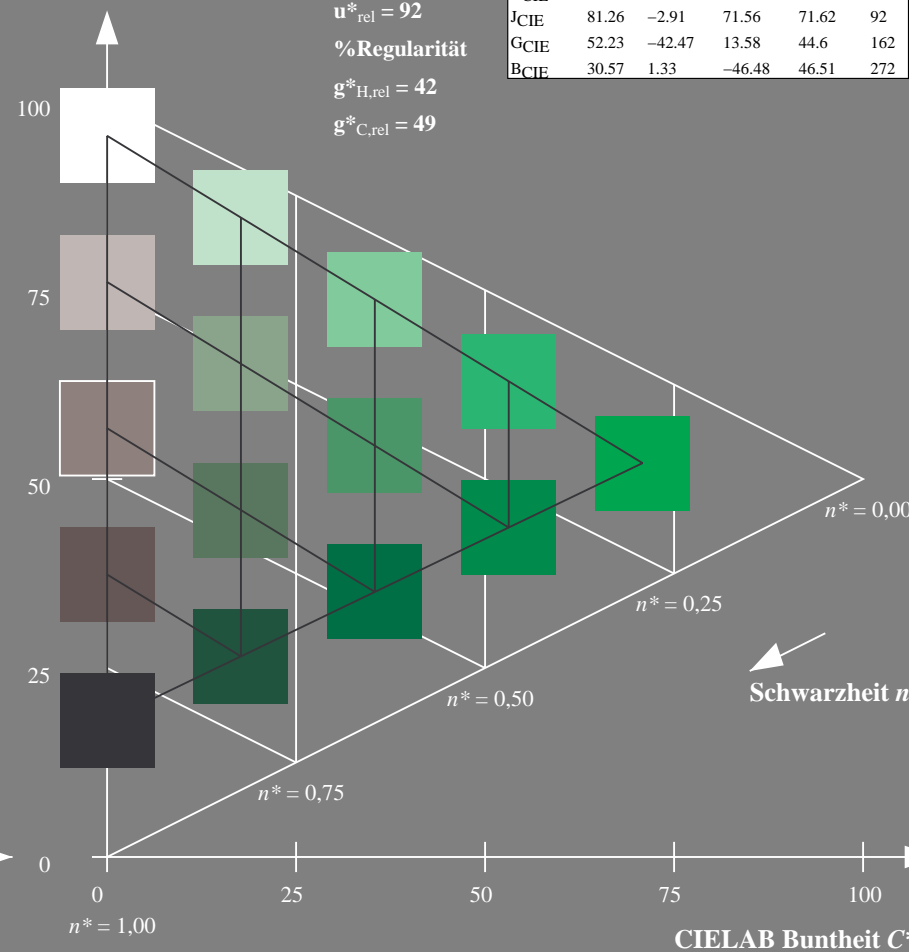
	$L^*=L^*_a$	$a^*_a$	$b^*_a$	$C^*_{ab,a}$	$h^*_{ab,a}$
RMa	49.63	66.8	40.02	77.87	31
JMa	90.7	-7.27	93.19	93.48	94
GMa	52.11	-69.93	11.26	70.85	171
G50BMa	45.03	-36.65	-27.13	45.61	217
BMa	36.65	23.26	-62.27	66.49	290
B50RMa	34.94	57.27	-43.6	71.99	323
NMa	18.01	0.0	0.0	0.0	0
WMa	95.41	0.0	0.0	0.0	0
RCIE	39.92	58.67	27.97	64.99	25
JCIE	81.26	-2.91	71.56	71.62	92
GCIE	52.23	-42.47	13.58	44.6	162
BCIE	30.57	1.33	-46.48	46.51	272

CIELAB-Helligkeit  $L^*$ 

%Umfang

 $u^*_{rel} = 92$ 

%Regularität

 $g^*_{H,rel} = 42$  $g^*_{C,rel} = 49$ 

5 stufige Reihen für konstanten CIELAB Buntton 171/360 = 0.475 (rechts)

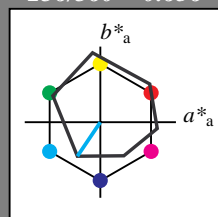
## Eingabe: Farbmétrisches Reflexions-System ORS18

für Buntton  $h^* = lab^*h = 236/360 = 0.656$  $lab^*tch$  und  $lab^*nch$ 

D65: Buntton C

LCH\*Ma: 59 54 236

rgb\*Ma: 0.0 1.0 1.0

Dreiecks-Helligkeit  $t^*$ 

%Umfang

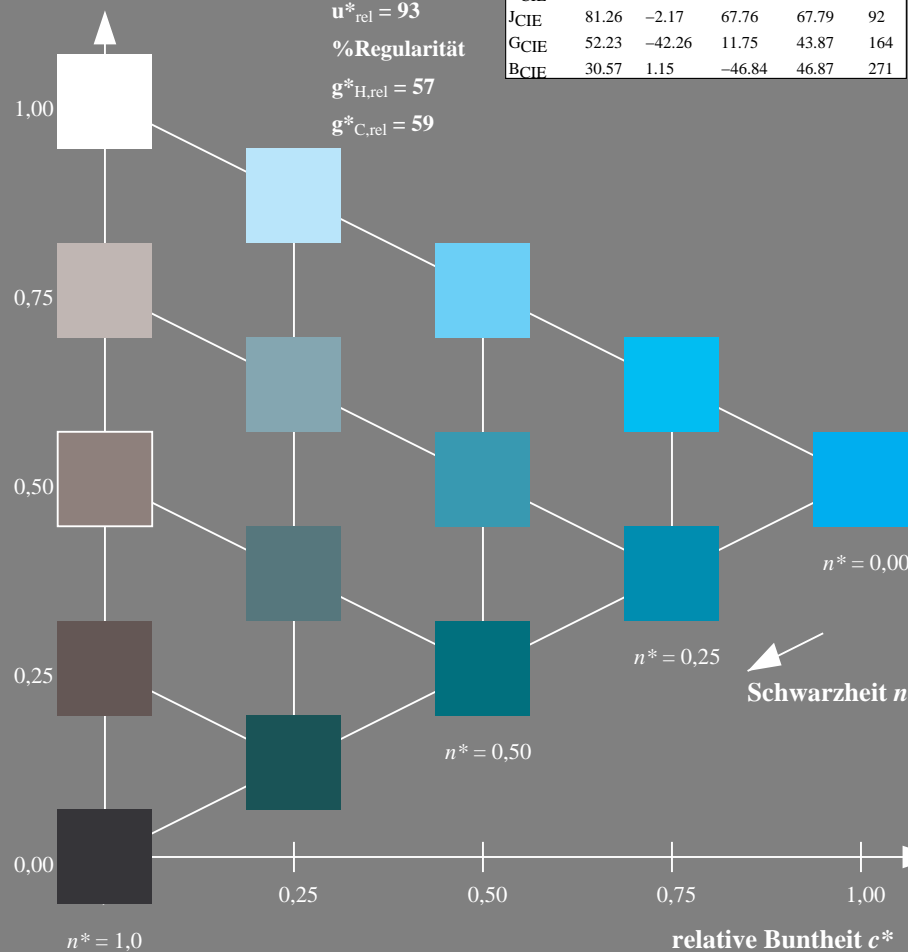
 $u^*_{rel} = 93$ 

%Regularität

 $g^*_{H,rel} = 57$  $g^*_{C,rel} = 59$ 

## ORS18; adaptierte CIELAB-Daten

	$L^*=L^*_a$	$a^*_a$	$b^*_a$	$C^*_{ab,a}$	$h^*_{ab,a}$
OMa	47.94	65.37	50.52	82.62	38
YMa	90.37	-10.27	91.77	92.34	96
LMa	50.9	-62.79	34.95	71.87	151
CMa	58.62	-30.35	-45.01	54.3	236
VMa	25.71	31.11	-44.42	54.24	305
MMa	48.13	75.27	-8.35	75.73	354
NMa	18.01	0.0	0.0	0.0	0
WMa	95.41	0.0	0.0	0.0	0
RCIE	39.92	58.66	26.98	64.56	25
JCIE	81.26	-2.17	67.76	67.79	92
GCIE	52.23	-42.26	11.75	43.87	164
BCIE	30.57	1.15	-46.84	46.87	271



UG210-7, 5 stufige Reihen für konstanten CIELAB Buntton 236/360 = 0.656 (links)

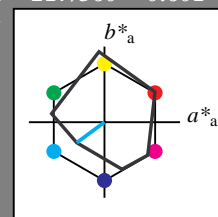
## Ausgabe: Farbmétrisches Reflexions-System MRS18a

für Buntton  $h^* = lab^*h = 217/360 = 0.601$  $LAB^*LCH$ ,  $LAB^*NCH$ 

D65: Buntton G50B

LCH\*Ma: 45 46 217

rgb\*Ma: 0.0 1.0 1.0

CIELAB-Helligkeit  $L^*$ 

%Umfang

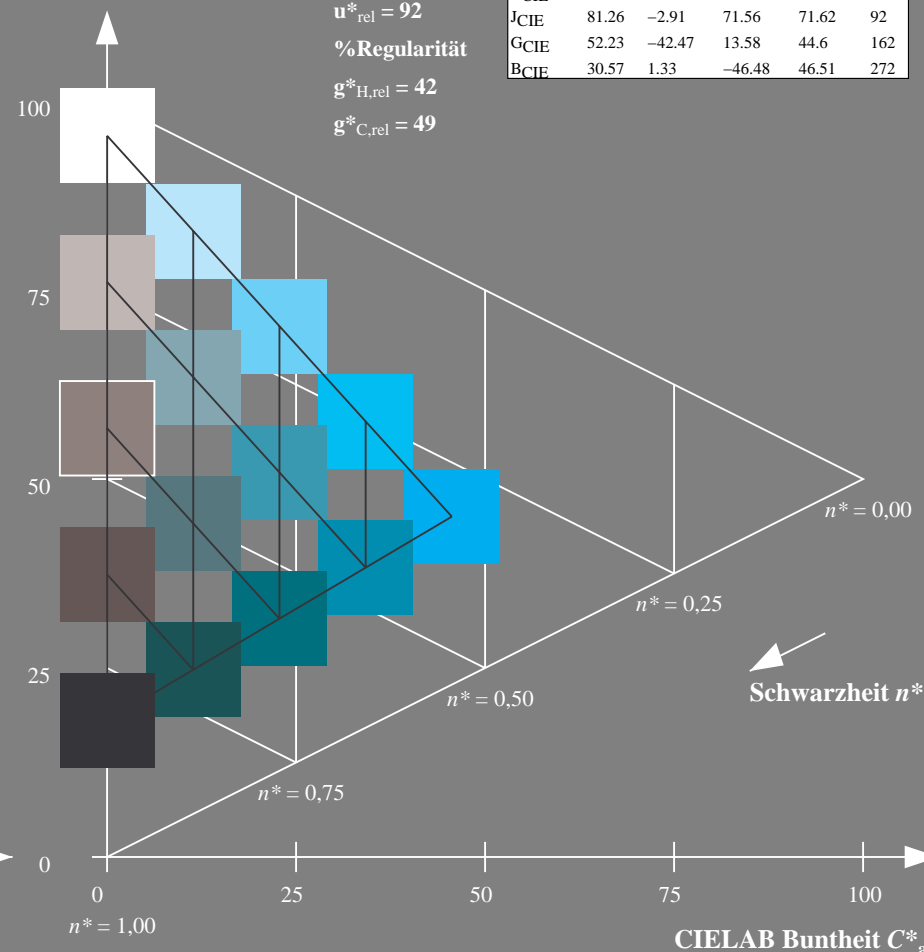
 $u^*_{rel} = 92$ 

%Regularität

 $g^*_{H,rel} = 42$  $g^*_{C,rel} = 49$ 

## MRS18a; adaptierte CIELAB-Daten

	$L^*=L^*_a$	$a^*_a$	$b^*_a$	$C^*_{ab,a}$	$h^*_{ab,a}$
RMa	49.63	66.8	40.02	77.87	31
JMa	90.7	-7.27	93.19	93.48	94
GMa	52.11	-69.93	11.26	70.85	171
G50BMa	45.03	-36.65	-27.13	45.61	217
BMa	36.65	23.26	-62.27	66.49	290
B50RMa	34.94	57.27	-43.6	71.99	323
NMa	18.01	0.0	0.0	0.0	0
WMa	95.41	0.0	0.0	0.0	0
RCIE	39.92	58.67	27.97	64.99	25
JCIE	81.26	-2.91	71.56	71.62	92
GCIE	52.23	-42.47	13.58	44.6	162
BCIE	30.57	1.33	-46.48	46.51	272



5 stufige Reihen für konstanten CIELAB Buntton 217/360 = 0.601 (rechts)

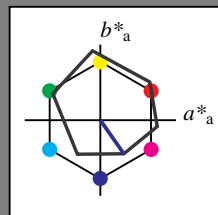
BAM-Prüfvorlage UG21; Farbmétrik-Systeme ORS18 & ORS18input:  $cmY0^*$  setcmykcolor

D65: Koordinaten-Systeme von 5stufigen Farbreihen für 10 Bunttoninput: Startup (S) data dependant

### Eingabe: Farbmimetrisches Reflexions-System ORS18

für Buntton  $h^* = lab \cdot h = 305/360 = 0.847$   
 $lab \cdot tch$  und  $lab \cdot nch$

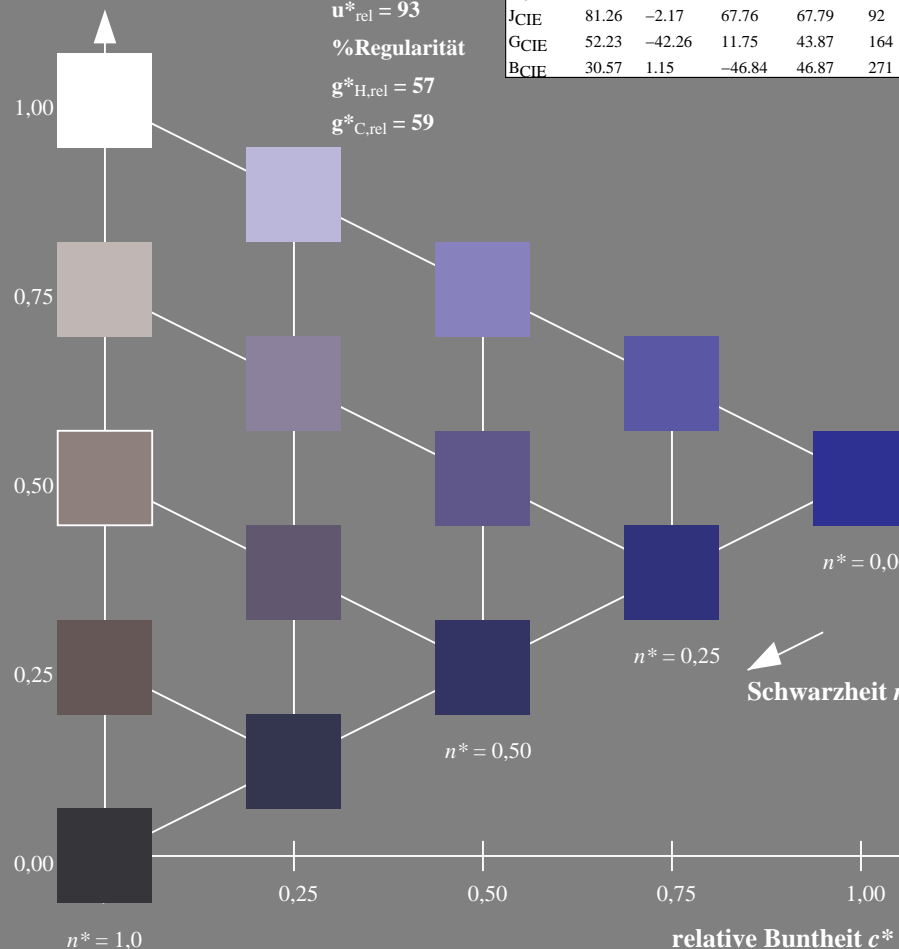
D65: Buntton V  
LCH\*Ma: 26 54 305  
rgb\*Ma: 0.0 0.0 1.0



ORS18; adaptierte CIELAB-Daten					
	$L^*=L^*_a$	$a^*_a$	$b^*_a$	$C^*_{ab,a}$	$h^*_{ab,a}$
OMa	47.94	65.37	50.52	82.62	38
YMa	90.37	-10.27	91.77	92.34	96
LMa	50.9	-62.79	34.95	71.87	151
CMa	58.62	-30.35	-45.01	54.3	236
VMa	25.71	31.11	-44.42	54.24	305
MMa	48.13	75.27	-8.35	75.73	354
NMa	18.01	0.0	0.0	0.0	0
WMa	95.41	0.0	0.0	0.0	0
RCIE	39.92	58.66	26.98	64.56	25
JCIE	81.26	-2.17	67.76	67.79	92
GCIE	52.23	-42.26	11.75	43.87	164
BCIE	30.57	1.15	-46.84	46.87	271

Dreiecks-Helligkeit  $t^*$

%Umfang  
 $u^*_{rel} = 93$   
%Regularität  
 $g^*_{H,rel} = 57$   
 $g^*_{C,rel} = 59$

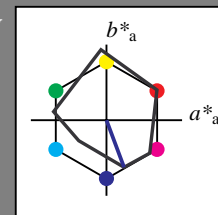


UG210-7, 5 stufige Reihen für konstanten CIELAB Buntton 305/360 = 0.847 (links)

### Ausgabe: Farbmimetrisches Reflexions-System MRS18a

für Buntton  $h^* = lab \cdot h = 290/360 = 0.807$   
 $LAB \cdot LCH$ ,  $LAB \cdot NCH$

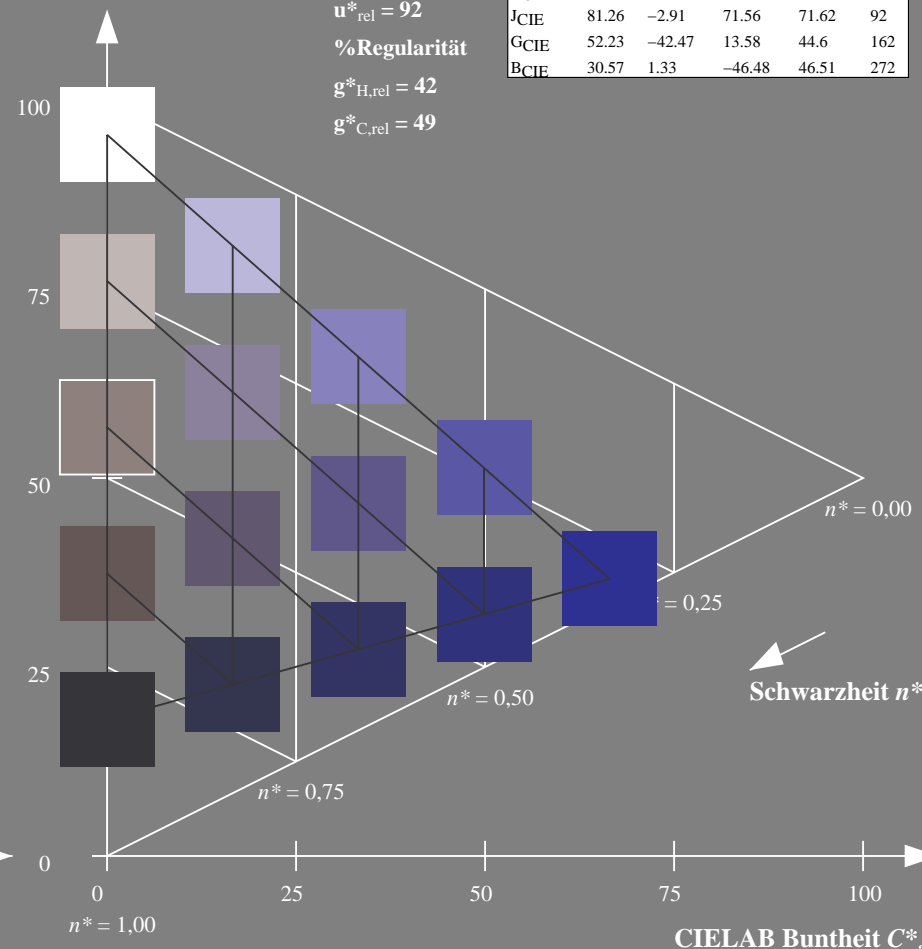
D65: Buntton B  
LCH\*Ma: 37 66 290  
rgb\*Ma: 0.0 0.0 1.0



MRS18a; adaptierte CIELAB-Daten					
	$L^*=L^*_a$	$a^*_a$	$b^*_a$	$C^*_{ab,a}$	$h^*_{ab,a}$
RMa	49.63	66.8	40.02	77.87	31
JMa	90.7	-7.27	93.19	93.48	94
GMa	52.11	-69.93	11.26	70.85	171
G50BMa	45.03	-36.65	-27.13	45.61	217
BMa	36.65	23.26	-62.27	66.49	290
B50RMa	34.94	57.27	-43.6	71.99	323
NMa	18.01	0.0	0.0	0.0	0
WMa	95.41	0.0	0.0	0.0	0
RCIE	39.92	58.67	27.97	64.99	25
JCIE	81.26	-2.91	71.56	71.62	92
GCIE	52.23	-42.47	13.58	44.6	162
BCIE	30.57	1.33	-46.48	46.51	272

CIELAB-Helligkeit  $L^*$

%Umfang  
 $u^*_{rel} = 92$   
%Regularität  
 $g^*_{H,rel} = 42$   
 $g^*_{C,rel} = 49$



5 stufige Reihen für konstanten CIELAB Buntton 290/360 = 0.807 (rechts)

BAM-Prüfvorlage UG21; Farbmimetrische-Systeme ORS18 & ORS18input:  $cmY0^*$  setcmykcolor

D65: Koordinaten-Systeme von 5stufigen Farbreihen für 10 Bunttoninput: Startup (S) data dependend

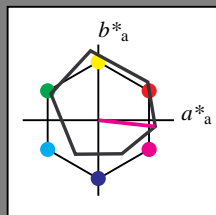
## Eingabe: Farbmimetrisches Reflexions-System ORS18

für Buntton  $h^* = lab \cdot h = 354/360 = 0.982$  $lab \cdot tch$  und  $lab \cdot nch$ 

D65: Buntton M

LCH\*Ma: 48 76 354

rgb\*Ma: 1.0 0.0 1.0

Dreiecks-Helligkeit  $t^*$ 

%Umfang

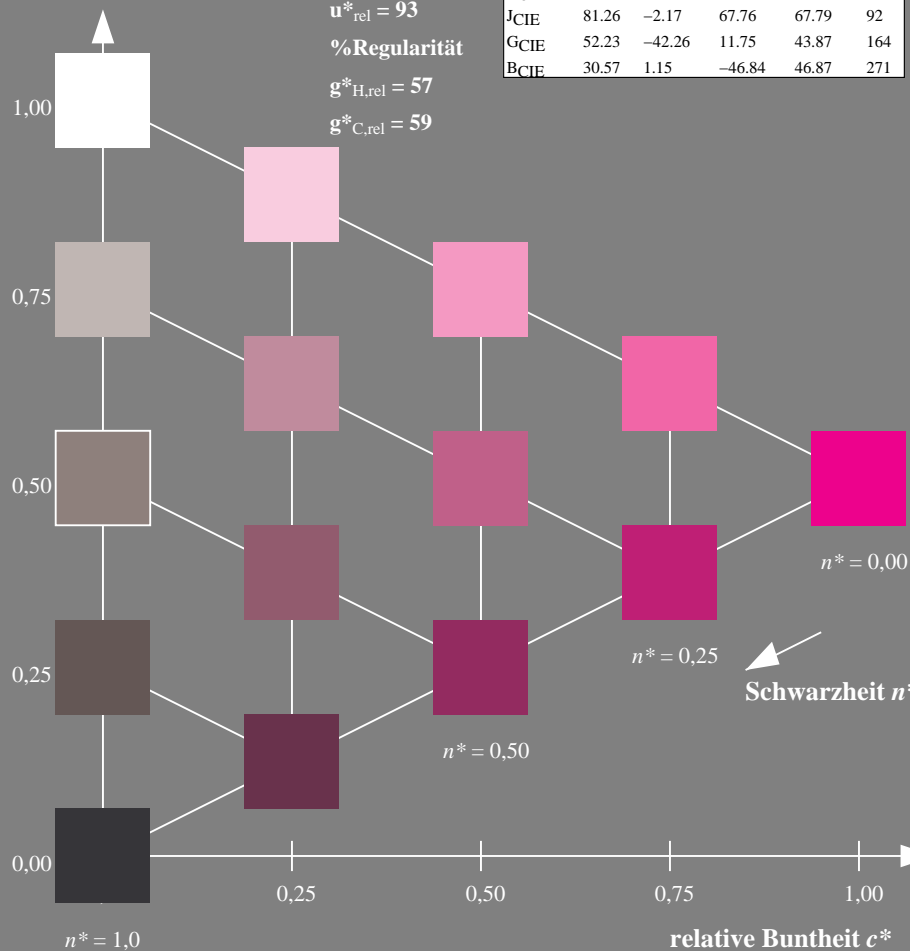
 $u^*_{rel} = 93$ 

%Regularität

 $g^*_{H,rel} = 57$  $g^*_{C,rel} = 59$ 

## ORS18; adaptierte CIELAB-Daten

	$L^*=L^*_a$	$a^*_a$	$b^*_a$	$C^*_{ab,a}$	$h^*_{ab,a}$
OMa	47.94	65.37	50.52	82.62	38
YMa	90.37	-10.27	91.77	92.34	96
LMa	50.9	-62.79	34.95	71.87	151
CMa	58.62	-30.35	-45.01	54.3	236
VMa	25.71	31.11	-44.42	54.24	305
MMa	48.13	75.27	-8.35	75.73	354
NMa	18.01	0.0	0.0	0.0	0
WMa	95.41	0.0	0.0	0.0	0
RCIE	39.92	58.66	26.98	64.56	25
JCIE	81.26	-2.17	67.76	67.79	92
GCIE	52.23	-42.26	11.75	43.87	164
BCIE	30.57	1.15	-46.84	46.87	271



UG210-7, 5 stufige Reihen für konstanten CIELAB Buntton 354/360 = 0.982 (links)

BAM-Prüfvorlage UG21; Farbmimetrik-Systeme ORS18 &amp; ORS18input: cmy0\* setcmykcolor

D65: Koordinaten-Systeme von 5stufigen Farbreihen für 10 Bunttoninput: Startup (S) data dependend

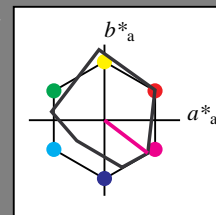
## Ausgabe: Farbmimetrisches Reflexions-System MRS18a

für Buntton  $h^* = lab \cdot h = 323/360 = 0.896$  $LAB \cdot LCH$ ,  $LAB \cdot NCH$ 

D65: Buntton B50R

LCH\*Ma: 35 72 323

rgb\*Ma: 1.0 0.0 1.0

CIELAB-Helligkeit  $L^*$ 

%Umfang

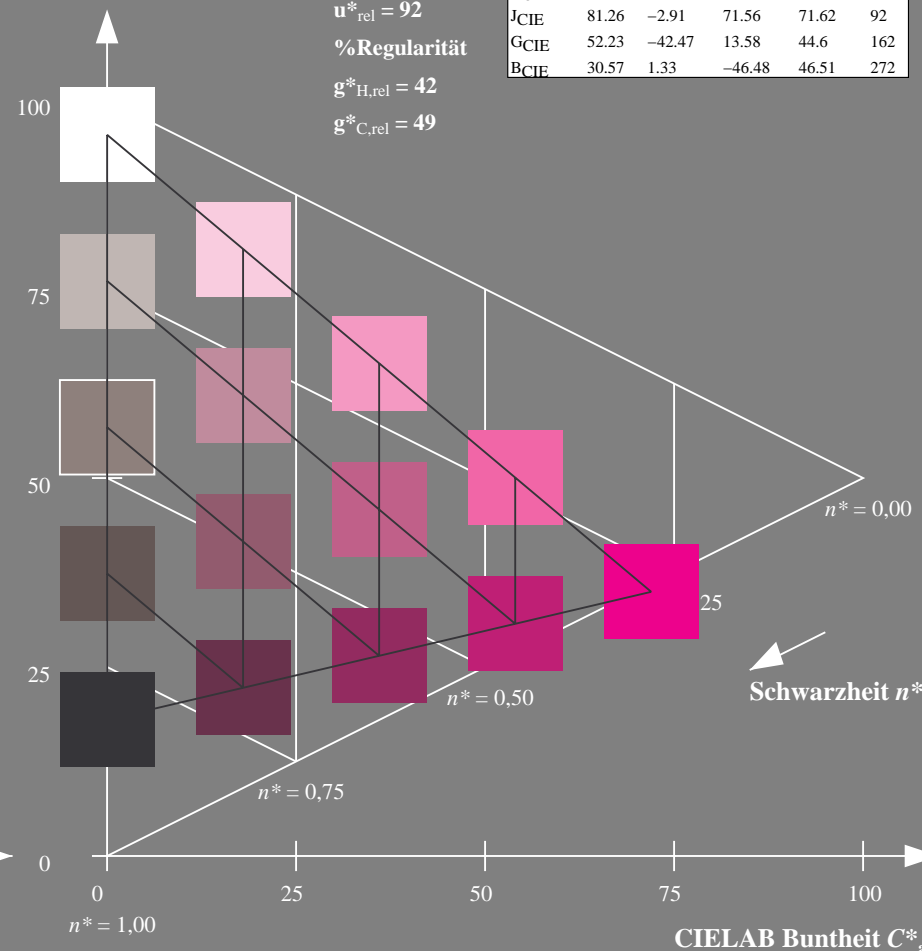
 $u^*_{rel} = 92$ 

%Regularität

 $g^*_{H,rel} = 42$  $g^*_{C,rel} = 49$ 

## MRS18a; adaptierte CIELAB-Daten

	$L^*=L^*_a$	$a^*_a$	$b^*_a$	$C^*_{ab,a}$	$h^*_{ab,a}$
RMa	49.63	66.8	40.02	77.87	31
JMa	90.7	-7.27	93.19	93.48	94
GMa	52.11	-69.93	11.26	70.85	171
G50BMa	45.03	-36.65	-27.13	45.61	217
BMa	36.65	23.26	-62.27	66.49	290
B50RMa	34.94	57.27	-43.6	71.99	323
NMa	18.01	0.0	0.0	0.0	0
WMa	95.41	0.0	0.0	0.0	0
RCIE	39.92	58.67	27.97	64.99	25
JCIE	81.26	-2.91	71.56	71.62	92
GCIE	52.23	-42.47	13.58	44.6	162
BCIE	30.57	1.33	-46.48	46.51	272



5 stufige Reihen für konstanten CIELAB Buntton 323/360 = 0.896 (rechts)

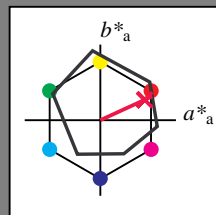
## Eingabe: Farbmimetrisches Reflexions-System ORS18

für Buntton  $h^* = lab \cdot h = 25/360 = 0.069$  $lab \cdot tch$  und  $lab \cdot nch$ 

D65: Buntton R

LCH\*Ma: 48 75 25

rgb\*Ma: 1.0 0.0 0.32

Dreiecks-Helligkeit  $t^*$ 

%Umfang

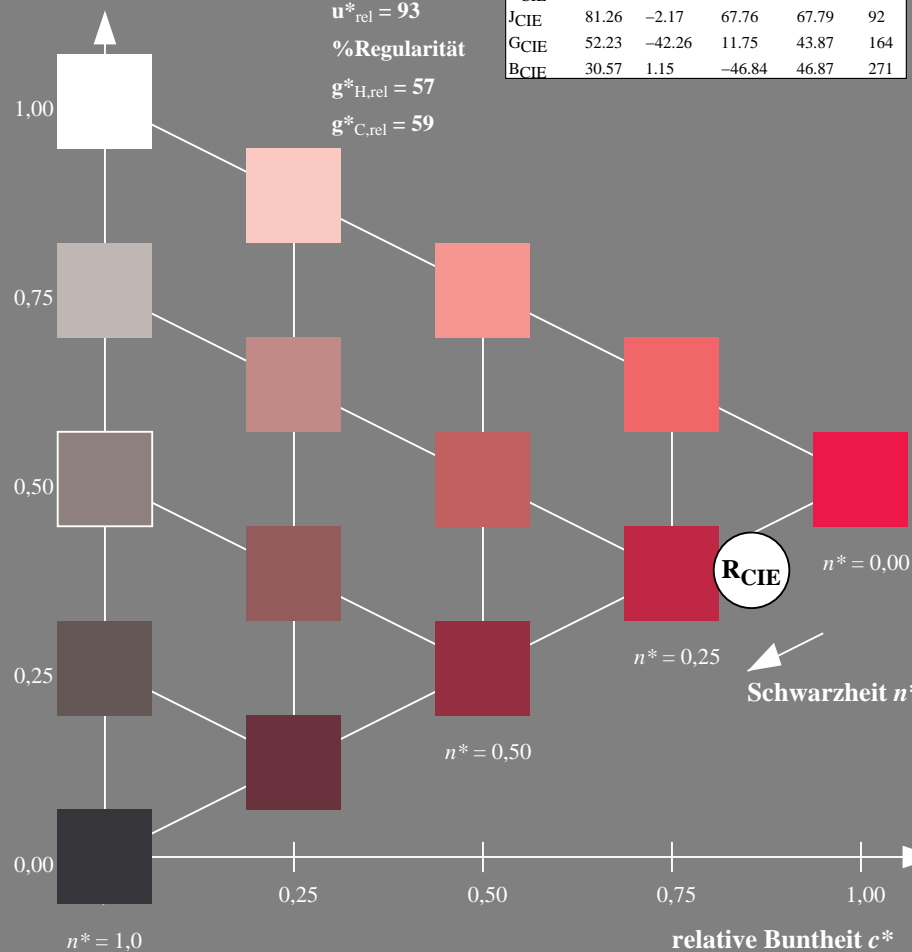
 $u^*_{rel} = 93$ 

%Regularität

 $g^*_{H,rel} = 57$  $g^*_{C,rel} = 59$ 

## ORS18; adaptierte CIELAB-Daten

	$L^*=L^*_a$	$a^*_a$	$b^*_a$	$C^*_{ab,a}$	$h^*_{ab,a}$
OMa	47.94	65.37	50.52	82.62	38
YMa	90.37	-10.27	91.77	92.34	96
LMa	50.9	-62.79	34.95	71.87	151
CMa	58.62	-30.35	-45.01	54.3	236
VMa	25.71	31.11	-44.42	54.24	305
MMa	48.13	75.27	-8.35	75.73	354
NMa	18.01	0.0	0.0	0.0	0
WMa	95.41	0.0	0.0	0.0	0
RCIE	39.92	58.66	26.98	64.56	25
JCIE	81.26	-2.17	67.76	67.79	92
GCIE	52.23	-42.26	11.75	43.87	164
BCIE	30.57	1.15	-46.84	46.87	271



UG210-7, 5 stufige Reihen für konstanten CIELAB Buntton 25/360 = 0.069 (links)

BAM-Prüfvorlage UG21; Farbmimetrische Systeme ORS18 &amp; ORS18input: cmy0\* setcmykcolor

D65: Koordinaten-Systeme von 5stufigen Farbreihen für 10 Bunttoninput: Startup (S) data dependend

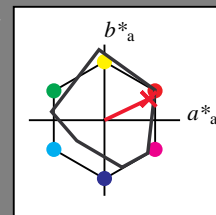
## Ausgabe: Farbmimetrisches Reflexions-System MRS18a

für Buntton  $h^* = lab \cdot h = 25/360 = 0.071$  $LAB \cdot LCH$ ,  $LAB \cdot NCH$ 

D65: Buntton R

LCH\*Ma: 48 73 25

rgb\*Ma: 1.0 0.0 0.1

CIELAB-Helligkeit  $L^*$ 

%Umfang

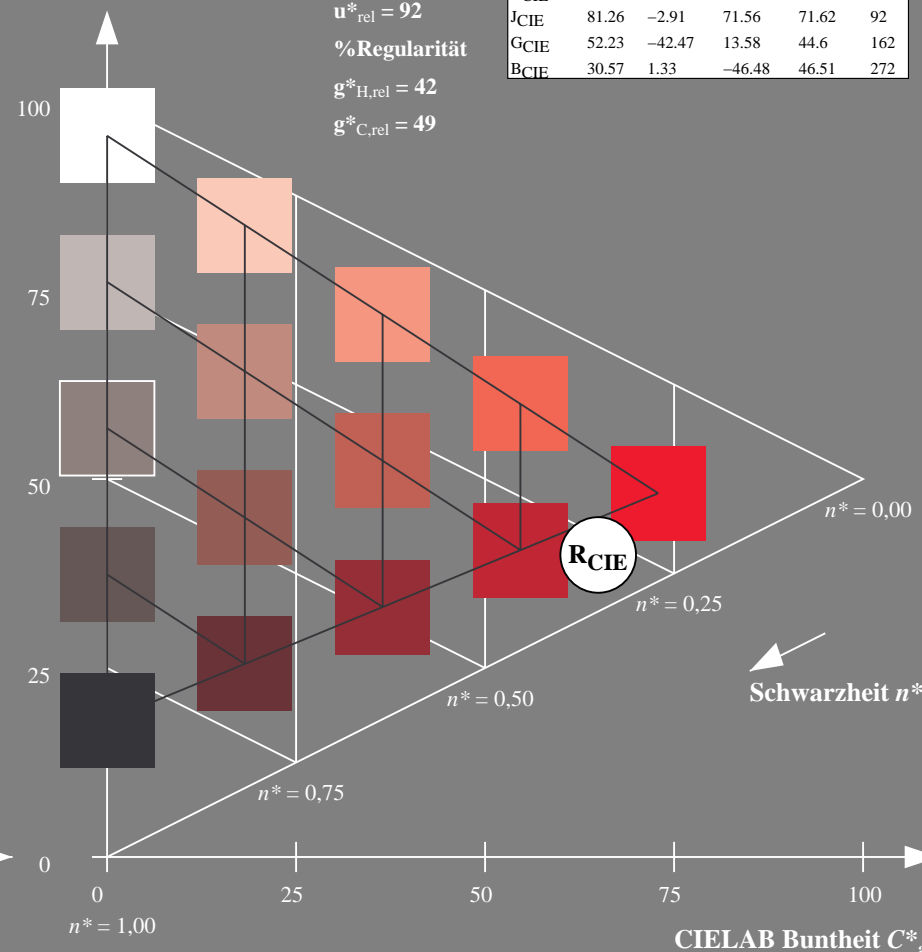
 $u^*_{rel} = 92$ 

%Regularität

 $g^*_{H,rel} = 42$  $g^*_{C,rel} = 49$ 

## MRS18a; adaptierte CIELAB-Daten

	$L^*=L^*_a$	$a^*_a$	$b^*_a$	$C^*_{ab,a}$	$h^*_{ab,a}$
RMa	49.63	66.8	40.02	77.87	31
JMa	90.7	-7.27	93.19	93.48	94
GMa	52.11	-69.93	11.26	70.85	171
G50BMa	45.03	-36.65	-27.13	45.61	217
BMa	36.65	23.26	-62.27	66.49	290
B50RMa	34.94	57.27	-43.6	71.99	323
NMa	18.01	0.0	0.0	0.0	0
WMa	95.41	0.0	0.0	0.0	0
RCIE	39.92	58.67	27.97	64.99	25
JCIE	81.26	-2.91	71.56	71.62	92
GCIE	52.23	-42.47	13.58	44.6	162
BCIE	30.57	1.33	-46.48	46.51	272



5 stufige Reihen für konstanten CIELAB Buntton 25/360 = 0.071 (rechts)



### Eingabe: Farbmétrisches Reflexions-System ORS18

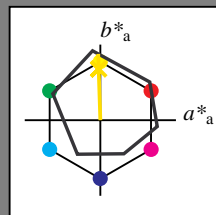
für Buntton  $h^* = lab^*h = 92/360 = 0.255$

$lab^*tch$  und  $lab^*nch$

D65: Buntton J

LCH\*Ma: 86 88 92

rgb\*Ma: 1.0 0.9 0.0



#### ORS18; adaptierte CIELAB-Daten

	$L^*=L^*_a$	$a^*_a$	$b^*_a$	$C^*_{ab,a}$	$h^*_{ab,a}$
OMa	47.94	65.37	50.52	82.62	38
YMa	90.37	-10.27	91.77	92.34	96
LMa	50.9	-62.79	34.95	71.87	151
CMa	58.62	-30.35	-45.01	54.3	236
VMa	25.71	31.11	-44.42	54.24	305
MMa	48.13	75.27	-8.35	75.73	354
NMa	18.01	0.0	0.0	0.0	0
WMa	95.41	0.0	0.0	0.0	0
RCIE	39.92	58.66	26.98	64.56	25
JCIE	81.26	-2.17	67.76	67.79	92
GCIE	52.23	-42.26	11.75	43.87	164
BCIE	30.57	1.15	-46.84	46.87	271

Dreiecks-Helligkeit  $t^*$

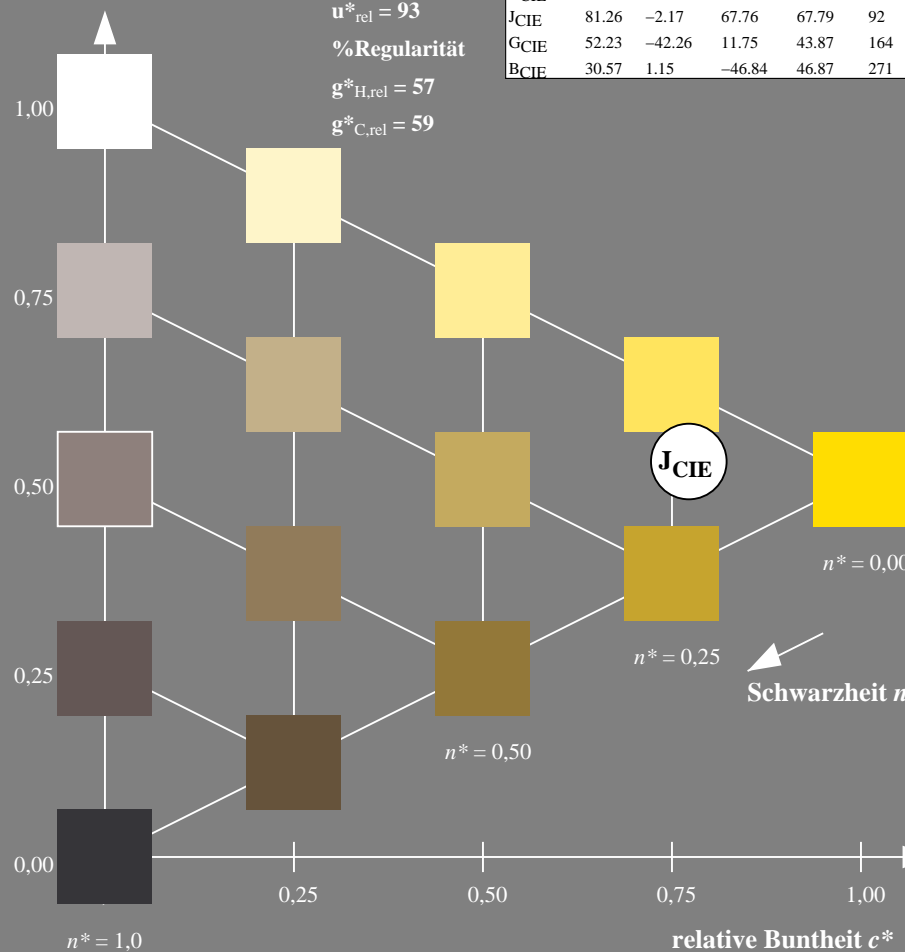
%Umfang

$u^*_{rel} = 93$

%Regularität

$g^*_{H,rel} = 57$

$g^*_{C,rel} = 59$



UG210-7, 5 stufige Reihen für konstanten CIELAB Buntton  $92/360 = 0.255$  (links)

### Ausgabe: Farbmétrisches Reflexions-System MRS18a

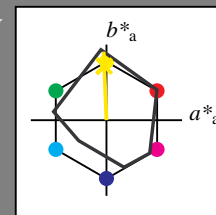
für Buntton  $h^* = lab^*h = 92/360 = 0.256$

$LAB^*LCH$ ,  $LAB^*NCH$

D65: Buntton J

LCH\*Ma: 89 91 92

rgb\*Ma: 1.0 0.95 0.0



#### MRS18a; adaptierte CIELAB-Daten

	$L^*=L^*_a$	$a^*_a$	$b^*_a$	$C^*_{ab,a}$	$h^*_{ab,a}$
RMa	49.63	66.8	40.02	77.87	31
JMa	90.7	-7.27	93.19	93.48	94
GMa	52.11	-69.93	11.26	70.85	171
G50BMa	45.03	-36.65	-27.13	45.61	217
BMa	36.65	23.26	-62.27	66.49	290
B50RMa	34.94	57.27	-43.6	71.99	323
NMa	18.01	0.0	0.0	0.0	0
WMa	95.41	0.0	0.0	0.0	0
RCIE	39.92	58.67	27.97	64.99	25
JCIE	81.26	-2.91	71.56	71.62	92
GCIE	52.23	-42.47	13.58	44.6	162
BCIE	30.57	1.33	-46.48	46.51	272

CIELAB-Helligkeit  $L^*$

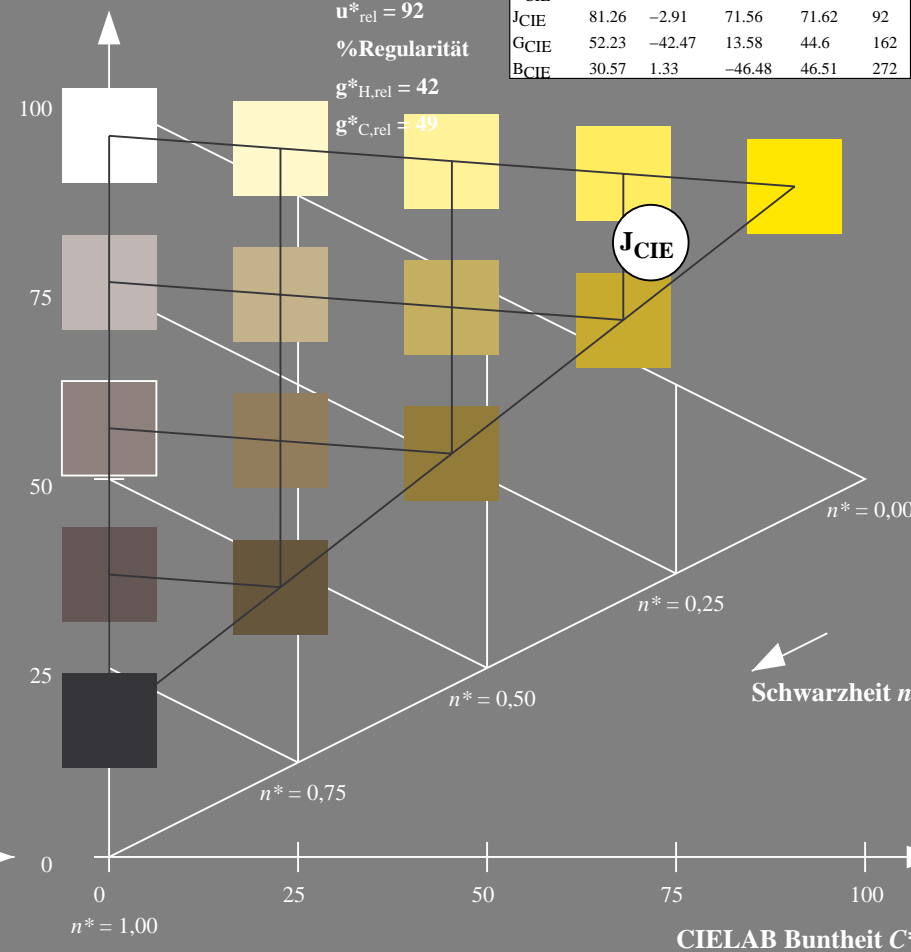
%Umfang

$u^*_{rel} = 92$

%Regularität

$g^*_{H,rel} = 42$

$g^*_{C,rel} = 49$



5 stufige Reihen für konstanten CIELAB Buntton  $92/360 = 0.256$  (rechts)

BAM-Prüfvorlage UG21; Farbmétrik-Systeme ORS18 & ORS18input:  $cmY0^* setcmykcolor$

D65: Koordinaten-Systeme von 5stufigen Farbreihen für 10 Bunttoninput:  $Startup (S) data dependend$



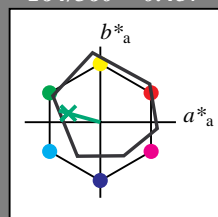
## Eingabe: Farbmétrisches Reflexions-System ORS18

für Buntton  $h^* = lab \cdot h = 164/360 = 0.457$  $lab \cdot tch$  und  $lab \cdot nch$ 

D65: Buntton G

LCH\*Ma: 53 57 164

rgb\*Ma: 0.0 1.0 0.25

Dreiecks-Helligkeit  $t^*$ 

%Umfang

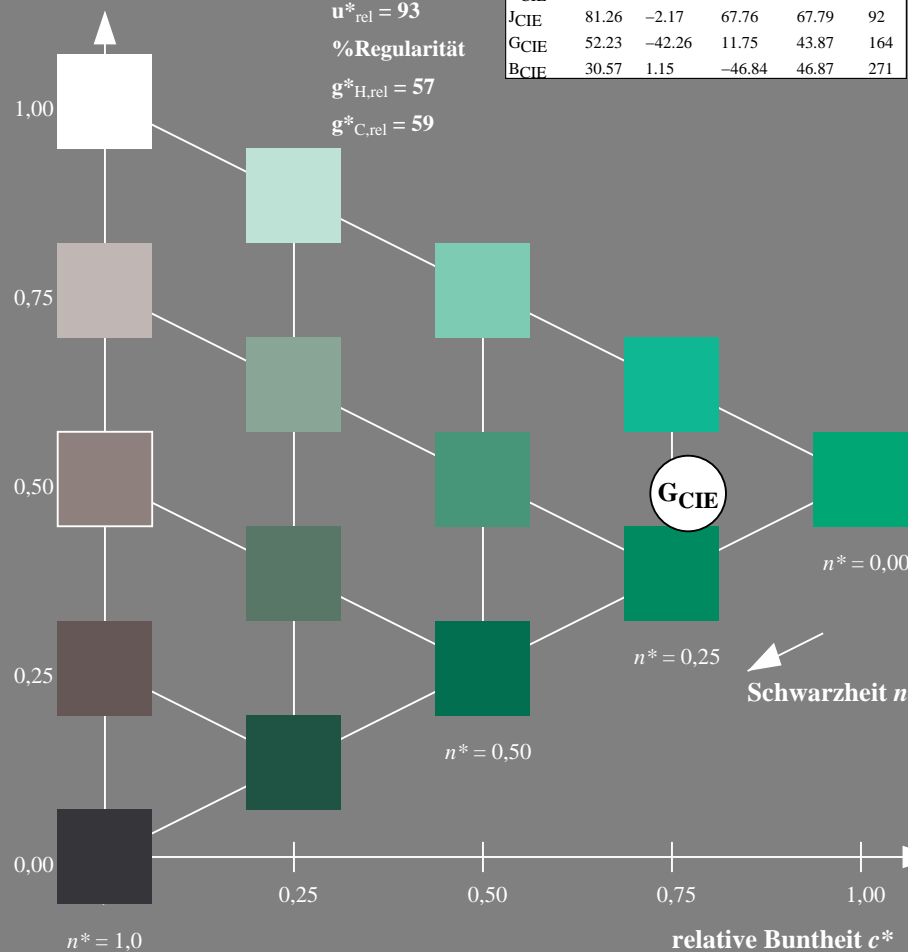
 $u^*_{rel} = 93$ 

%Regularität

 $g^*_{H,rel} = 57$  $g^*_{C,rel} = 59$ 

## ORS18; adaptierte CIELAB-Daten

	$L^*=L^*_a$	$a^*_a$	$b^*_a$	$C^*_{ab,a}$	$h^*_{ab,a}$
OMa	47.94	65.37	50.52	82.62	38
YMa	90.37	-10.27	91.77	92.34	96
LMa	50.9	-62.79	34.95	71.87	151
CMa	58.62	-30.35	-45.01	54.3	236
VMa	25.71	31.11	-44.42	54.24	305
MMa	48.13	75.27	-8.35	75.73	354
NMa	18.01	0.0	0.0	0.0	0
WMa	95.41	0.0	0.0	0.0	0
RCIE	39.92	58.66	26.98	64.56	25
JCIE	81.26	-2.17	67.76	67.79	92
GCIE	52.23	-42.26	11.75	43.87	164
BCIE	30.57	1.15	-46.84	46.87	271

UG210-7, 5 stufige Reihen für konstanten CIELAB Buntton  $164/360 = 0.457$  (links)BAM-Prüfvorlage UG21; Farbmétrik-Systeme ORS18 & ORS18input:  $cmY0^* setcmykcolor$ 

D65: Koordinaten-Systeme von 5stufigen Farbreihen für 10 Bunttoninput: Startup (S) data dependend

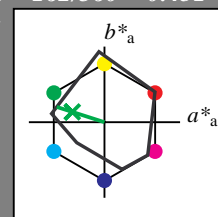
## Ausgabe: Farbmétrisches Reflexions-System MRS18a

für Buntton  $h^* = lab \cdot h = 162/360 = 0.451$  $LAB \cdot LCH$ ,  $LAB \cdot NCH$ 

D65: Buntton G

LCH\*Ma: 56 66 162

rgb\*Ma: 0.11 1.0 0.0

CIELAB-Helligkeit  $L^*$ 

%Umfang

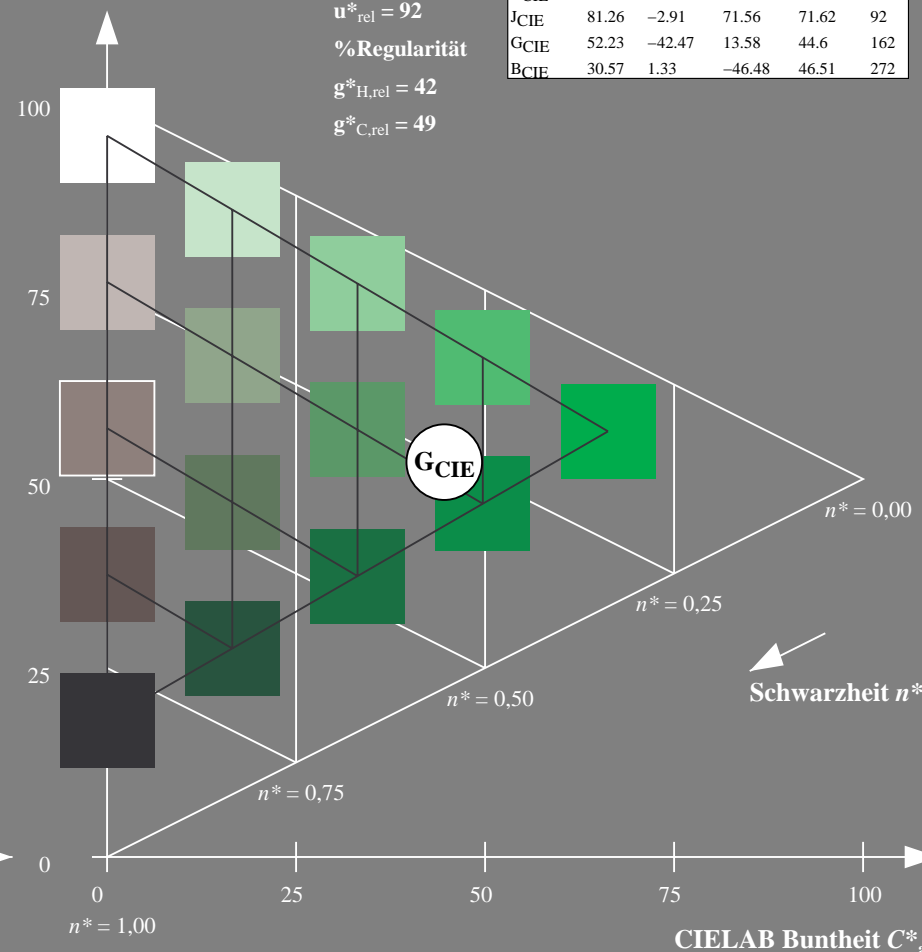
 $u^*_{rel} = 92$ 

%Regularität

 $g^*_{H,rel} = 42$  $g^*_{C,rel} = 49$ 

## MRS18a; adaptierte CIELAB-Daten

	$L^*=L^*_a$	$a^*_a$	$b^*_a$	$C^*_{ab,a}$	$h^*_{ab,a}$
RMa	49.63	66.8	40.02	77.87	31
JMa	90.7	-7.27	93.19	93.48	94
GMa	52.11	-69.93	11.26	70.85	171
G50BMa	45.03	-36.65	-27.13	45.61	217
BMa	36.65	23.26	-62.27	66.49	290
B50RMa	34.94	57.27	-43.6	71.99	323
NMa	18.01	0.0	0.0	0.0	0
WMa	95.41	0.0	0.0	0.0	0
RCIE	39.92	58.67	27.97	64.99	25
JCIE	81.26	-2.91	71.56	71.62	92
GCIE	52.23	-42.47	13.58	44.6	162
BCIE	30.57	1.33	-46.48	46.51	272

5 stufige Reihen für konstanten CIELAB Buntton  $162/360 = 0.451$  (rechts)

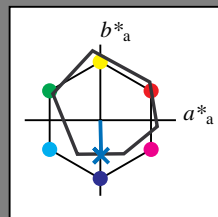
## Eingabe: Farbmétrisches Reflexions-System ORS18

für Buntton  $h^* = lab^*h = 271/360 = 0.754$  $lab^*tch$  und  $lab^*nch$ 

D65: Buntton B

LCH\*Ma: 42 45 271

rgb\*Ma: 0.0 0.49 1.0

Dreiecks-Helligkeit  $t^*$ 

%Umfang

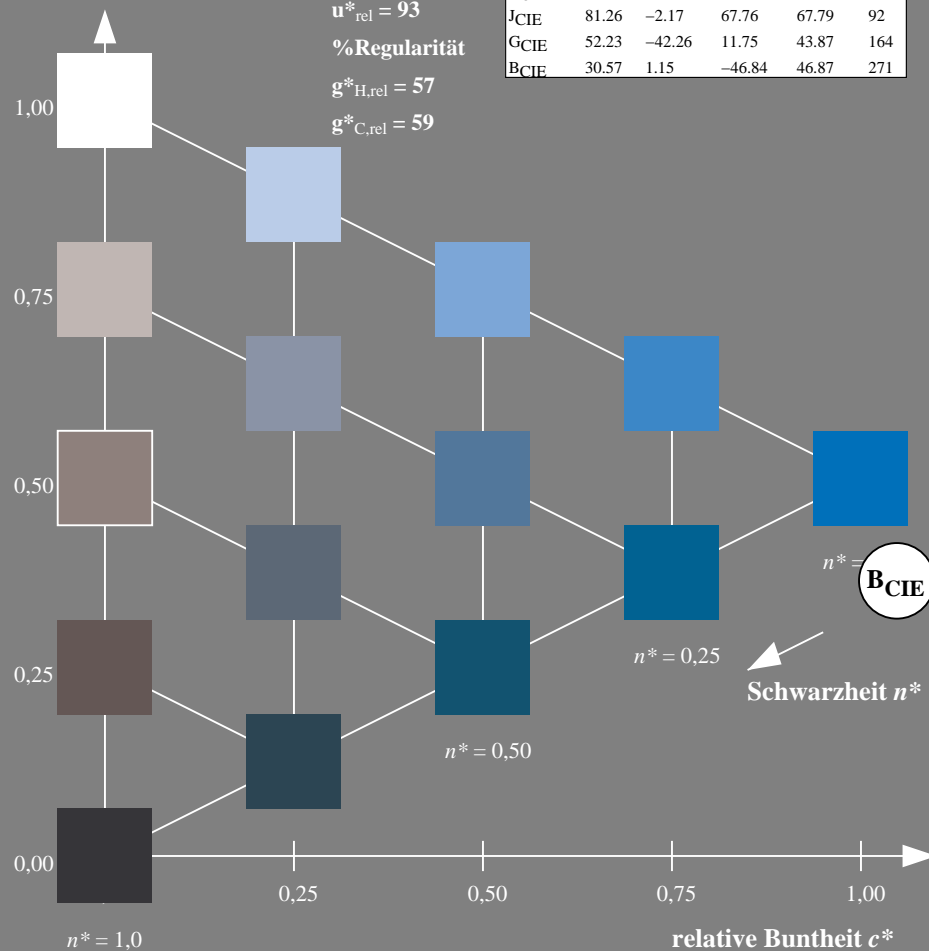
 $u^*_{rel} = 93$ 

%Regularität

 $g^*_{H,rel} = 57$  $g^*_{C,rel} = 59$ 

## ORS18; adaptierte CIELAB-Daten

	$L^*=L^*_a$	$a^*_a$	$b^*_a$	$C^*_{ab,a}$	$h^*_{ab,a}$
OMa	47.94	65.37	50.52	82.62	38
YMa	90.37	-10.27	91.77	92.34	96
LMa	50.9	-62.79	34.95	71.87	151
CMa	58.62	-30.35	-45.01	54.3	236
VMa	25.71	31.11	-44.42	54.24	305
MMa	48.13	75.27	-8.35	75.73	354
NMa	18.01	0.0	0.0	0.0	0
WMa	95.41	0.0	0.0	0.0	0
RCIE	39.92	58.66	26.98	64.56	25
JCIE	81.26	-2.17	67.76	67.79	92
GCIE	52.23	-42.26	11.75	43.87	164
BCIE	30.57	1.15	-46.84	46.87	271

UG210-7, 5 stufige Reihen für konstanten CIELAB Buntton  $271/360 = 0.754$  (links)BAM-Prüfvorlage UG21; Farbmétrik-Systeme ORS18 & ORS18input:  $cmY0^* setcmykcolor$ 

D65: Koordinaten-Systeme von 5stufigen Farbreihen für 10 Bunttoninput: Startup (S) data dependend

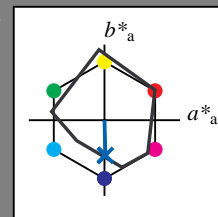
## Ausgabe: Farbmétrisches Reflexions-System MRS18a

für Buntton  $h^* = lab^*h = 272/360 = 0.755$  $LAB^*LCH$ ,  $LAB^*NCH$ 

D65: Buntton B

LCH\*Ma: 40 49 272

rgb\*Ma: 0.0 0.36 1.0

CIELAB-Helligkeit  $L^*$ 

%Umfang

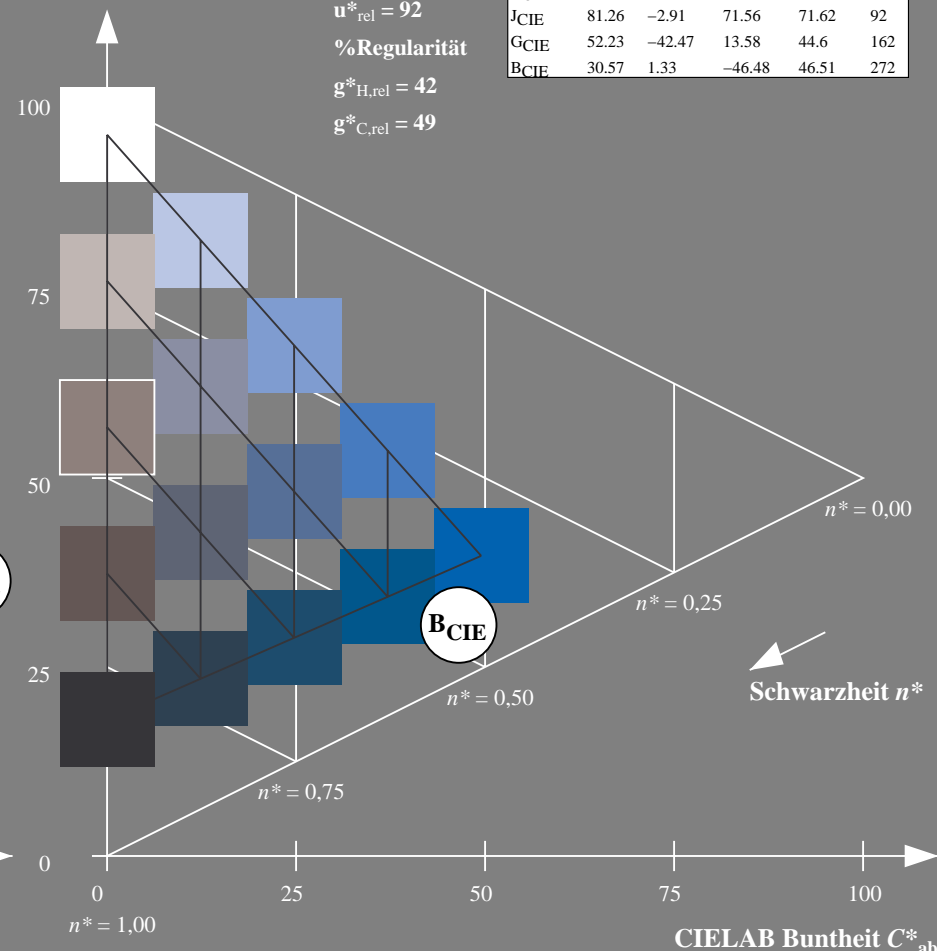
 $u^*_{rel} = 92$ 

%Regularität

 $g^*_{H,rel} = 42$  $g^*_{C,rel} = 49$ 

## MRS18a; adaptierte CIELAB-Daten

	$L^*=L^*_a$	$a^*_a$	$b^*_a$	$C^*_{ab,a}$	$h^*_{ab,a}$
RMa	49.63	66.8	40.02	77.87	31
JMa	90.7	-7.27	93.19	93.48	94
GMa	52.11	-69.93	11.26	70.85	171
G50BMa	45.03	-36.65	-27.13	45.61	217
BMa	36.65	23.26	-62.27	66.49	290
B50RMa	34.94	57.27	-43.6	71.99	323
NMa	18.01	0.0	0.0	0.0	0
WMa	95.41	0.0	0.0	0.0	0
RCIE	39.92	58.67	27.97	64.99	25
JCIE	81.26	-2.91	71.56	71.62	92
GCIE	52.23	-42.47	13.58	44.6	162
BCIE	30.57	1.33	-46.48	46.51	272

5 stufige Reihen für konstanten CIELAB Buntton  $272/360 = 0.755$  (rechts)